

水質の変化とその予報に関する研究

(2) 2次元等流としての厳密な解析について

正員 京都大学工学部 合田 健

緒言

この論文では、水流によって移流されつつ拡散・分散し、その途中重力や生物・化学的作用の影響をうける物質の濃度変化特性を、拡散型方程式とともに計算する、いわば従来の決定論的手法によつてはいるが、水質環境基準との関連や、水質予報問題の基礎理論とすることを意識し、水理学的には単純な2次元等流の場合を扱つて理論を展開した。これが従来の同種の研究と異なり、また進歩しえたと思われるのほつゞの諸点である。すなわち、

(1) 求めようとする物理・化学的水質量の、断面平均値に関する取扱いが、従来かなり粗雑であつた点を改めた。その例としては基礎式における移流項に束すべき補正係数 α の性格と重要性とを明らかにした。(2) 物質拡散係数はふつう一定値として扱われるが、これが場所と時間の関数である場合の解析解を求めた。(3) 一般に対象となる分散性の物質には、下水処理の放流水中に含まれる浮遊物質のように、その沈降性が問題になるものが多いが、この種のものも包括して理論的に取扱つた。(4) 解析過程で、この沈降作用に関する付加項は、一次的反応による生物学的減少作用の項と一緒にして扱えることを示し、その場合の両者の影響度の差異を明らかにした。(5) 系への横からの物質添加は、それが系の主要水理量に有意の影響がない範囲でこの解析に含めて取扱えることを示した。

想定した2次元等流は、せん断乱流のモデルを考へてゐるので、これは応用上の制約にはなるが、都市河川や導水路、あるいは下水主幹線における、定常的な状態での水質予知には、この理論が相当の精度で役立つうるものと思う。しかし本稿の段階では、フィールドデータとの組合は、データ不足のため行なわない。なおこの理論的研究の1部は、水道協会雑誌にごく概略を記した。⁽¹⁾

1. 基本方程式と仮定

水流のプロファイルは図-1に示す。管路の圧力流の場合は別の機会にゆずり、自由水面を有する2次元のせん断乱流で、 $f_s = \text{一定}$ とする。この系で物質移動現象を取扱うばあい、気相と液相の界面(水面)、液相と固相の界面(底面)の現象が問題であるが、 O_2, N_2 などの場合を除けば、前者は实际上無視してもよいのでその立場をとる。

含有物質によって水理量が変化しないと仮定すると、物質收支式とは独立に運動、および水量連続の式を考えればよい。その2式は、底面粗度が一様に k_s であるとすると、速度分布の対数法則および流量一定の式であらわされる。すなわち u_s を摩擦速度、 u_m を平均流速とすると、

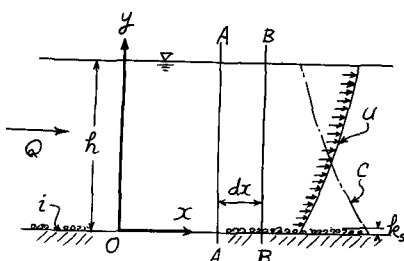


図-1 プロファイルと記号

$$U/U_* = 8.5 + 5.75 \log_{10} Y/k_s \quad \dots \dots \dots (1)$$

$$U_m h = Q = \text{一定} \quad \dots \dots \dots (2)$$

である。 U_* はこの場合 $(g/h)^{1/2}$ とすればよい。

つぎに、沈降性（または浮上性）を有し、しかも化学的、生物学的作用により変動する指標物質の濃度 C は、局所的につきの物質收支式に従う。

$$\frac{\partial C}{\partial t} + \frac{\partial}{\partial x}(UC) = \frac{\partial}{\partial x}(e_x \frac{\partial C}{\partial x}) + \frac{\partial}{\partial y}(e_y \frac{\partial C}{\partial y}) + f_1(C) + w_{max} \int_0^{1.0} w_* C_* d w_* + f_2(x, t) \quad \dots \dots \dots (3)$$

ここに C は考慮している浮遊・溶解性物質の指標の濃度、
 e_x, e_y は x, y 方向に関する物質の見かけの拡散係数、
 f_1 は生物、化学的作用による、単位時間当たりの濃度増加（減少）率、
 w_* は粒子の沈降速度を一般に w_0 とあらわした場合、それが図-2 のようなスペクトラムで一般に表示されるとして、
 その最大値を w_{max} としたときの比沈降速度（無次元）であり、
 $w_* = w_0/w_{max}$ ；
 C_* は代表値 w_* であらわされる
 粒子グループの、濃度値 C におけるシェアとする。ここには当然つきの関係がある：

$$\int_0^{1.0} \frac{C_*}{C} d w_* = 1, \quad \int_0^{1.0} P_* d w_* = 1;$$

つぎに $f_2(x, t)$ は、流路途中で加えられる指標物質の、該点における単位時間の量である。

(3) 式の解を論ずる前にその構成因子の物理・化学的意義を考えると、左辺第1項は指標値の時間的変化率、第2項はその移流による増加率、右辺第1、2項はそれぞれ x, y 方向での拡散による増加率、第3項以下の意義は上述のとおりである。ここで各項の寄与率の大小を論ずるのは早すぎるが、もし指標に DO や緑藻類のようなものを考えるならば、光合成作用を考慮せねばならない。また、右辺第4項の沈降作用については、この形のままでは実計算が著しく繁雑になるので、代表沈降速度 w_0 をとり、これを一定値として近似計算することには己むを得ないであろう。このときは、右辺第4項は、 $w_0 \frac{\partial C}{\partial y}$ である。実計算の精度をあげたい時は、 $w_0 = 0$ とする溶解性物質 (D.M.) のグループと、沈降性物質 (Settleable Solids, SS) のグループとにわけて別々に計算するほうがよいかと考えられる。何故ならば、とくすることにより、D.M. グループは濃度分布が y 方向に一様となることがわかっている⁽²⁾ので (3) 式の各項の断面平均値表示はかなり容易かつ simple になり、一方、SS グループのみを独立に扱うばあいは (3) 式の右辺の $f_1(C)$ を事实上無視できることが多いからである。

2. 断面平均値に関する物質收支式

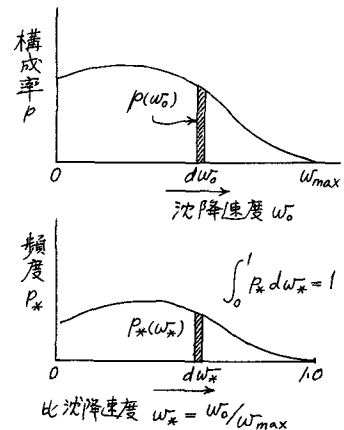


図-2 沈降速度のスペクトラム

(3)式をそのままでは、差分式としても計算が困難だから、各項の断面平均値を求める。以下の計算は(1), (2)両式を代入しつつ、(3)式を断面平均量 U_m , C_m , e_{xm} , e_{ym} などの諸量によって正確にあらわし、応用性のよい基礎式に変換しようとするものである。

1) 時間的変化

以下(3)式の各項を図-1の A-A 断面につき積分し、その寄与率を求める点で共通してい。

$$dT = \frac{\partial}{\partial t} \left(\int_0^h C dy \right) dx = \left(\frac{\partial C_m}{\partial t} \right) h dx \quad \cdots \cdots \cdots (4)$$

2) 移流項

いおよび C の断面平均値と、瞬間変動を無視したとの局所値、偏差の関係をつきのように表わす。

$$U - U_m = U', \quad C - C_m = C'$$

dA_d を移流(Advection)による A-B 間の増分と考えると、積(UC)が“変域 $0 \leq y \leq h$ で” x , y に関する連続、かつ微分可能であれば、

$$dA_d = \frac{\partial}{\partial x} \left(\int_0^h UC dy \right) dx = Q dx \cdot \frac{\partial}{\partial x} [C_m(1+\alpha)], \quad \alpha = \frac{1}{h} \int_0^h \frac{U' C'}{U_m C_m} dy$$

であり、 C_m , C' は x , t の関数であるが、 (C'/C_m) の x 方向の変化は短区间では無視できる。よって、

$$dA_d \approx (1+\alpha) Q dx \cdot \frac{\partial C_m}{\partial x}, \quad \alpha = \frac{1}{h} \int_0^h \frac{U' C'}{U_m C_m} dy \quad \cdots \cdots \cdots (5)$$

である。 α について考えてみると、C が鉛直方向に一樣な場合 ($W_0 = 0$ か、乱流交換が極めて激しいとき) 明らかに $\alpha = 0$ である。しかしながら一般的な場合は、対数法則によりそれが図-1 に示したような特性をもつてに対し、C は粒子の沈降性のため鉛線のようない逆の傾向を示す。従って U' と C' の関係は一般にかなり強い負の相関を示す。これまで物質の拡散輸送を扱ってきた多くの研究者がこの点を無視してある点に注意すべきである。しからばこの α のマグニチュードはどの程度であるか?

いま $C(x, y, t)$ の関数形が不明なので、1つの近似法として、C が化学、生物学的作用の影響をうけぬと考え、単に沈降性を保持しつせん断乱流の場でどう分布するかを考えると、定常状態での基礎方程式

$$\frac{d}{dy} \left(e_y \frac{dc}{dy} \right) + w_0 \frac{dc}{dy} = 0$$

に対し、 $y = a$ (底面のすぐ近く) で $C = C_a$ として得られた Rouse の式

$$\frac{C}{C_a} = \left(\frac{h-y}{y} - \frac{a}{h-a} \right)^{w_0/\alpha u_*} \quad \cdots \cdots \cdots (6)$$

があるので、これから C の y 方向の分布型を概略知ることができる。例として、 $w_0 = 0.01, 0.1$, および 1.0 cm/sec とし、緩流河川の低水時の例とし、 $i = 1/1000$, $h = 100 \text{ cm}$, $a = k_s = 0.5 \text{ cm}$, $u_* \approx 10 \text{ cm/sec}$, $\alpha = 0.40$ として α を計算してみると表-1 のよう結果が得られる。この表から判るようく、 $w_0/u_* < 10^{-2}$ では、移流項の補正率

表-1 α の近似値

$w_0 (\text{cm/sec})$	w_0/u_*	α
0.01	10^{-3}	-1.22×10^{-3}
0.1	10^{-2}	-1.23×10^{-2}
1.0	10^{-1}	-0.172

は数ペーセントで、それほど問題にはならないが、 $W_0/u_* > 10^{-2}$ では内壁が“あり”，例えば“10⁻¹”ではその必要補正率は実に17.2%に達する。この表にみるようには通常貢である、いまのような割引を許行はならないと、平均値に関する基礎式の計算は初から誤りを冒すことになる。例えは密度流の起つている状況他などのがとの好例である。実測値があつてそれを理論とを照合するような場合にもっとも注意を要する点である。

したがつて、(5)式による dA_d の表示は必ず入ることに重要な意義がある。

3) 拡散項と沈殿項

$\frac{\partial}{\partial x}(e_x \frac{\partial C}{\partial x}) \times \frac{\partial}{\partial y}(e_y \frac{\partial C}{\partial y})$ とは性格が異はるので別々に論ずる。前者の断面平均値表示を dD_x 、後者のそれを dD_y とあらわす。

(i) dD_x について:

z)におけると同様に、平均値と偏差の関係 $e_x - e_{xm} = e'_x$, $C - C_m = C'$ を用いて演算し、

$$dD_x = \frac{\partial}{\partial x} \left[\int_0^h e_{xm} \frac{\partial C_m}{\partial x} \{1 + \beta\} dy \right] dx = h dx \cdot \frac{\partial}{\partial x} \left\{ (1 + \beta) e_{xm} \frac{\partial C_m}{\partial x} \right\} \\ \cong (1 + \beta) h dx \cdot \frac{\partial}{\partial x} (e_{xm} \frac{\partial C_m}{\partial x}), \quad \beta = \frac{1}{h} \int_0^h e'_x \frac{\partial C'}{\partial x} / e_{xm} \frac{\partial C_m}{\partial x} dy \quad \dots \dots \dots (7),$$

この β についても、(5)式の α と同様な検討が必要である。しかしこの場合は $(\partial C' / \partial x) \times e'_x$ との相関を、 u' と C' の相関と同様にみる必然性はない。まず $\beta = 0$ とした場合の $C(x, y, t)$ について二つの相関性を近似的に検討し、改めて補正係数として必要があれば導入するといふ試行錯誤法でもよいのではないか。したがつてここではひとまず(7)を標準式としておく。ところで β は、 C の鉛直方向の変動がない場合は当然0であり、また e_x がせん断乱流の渦拡散係数 $\epsilon = u_* w_* y (1 - y/h)$ と等しい場合、および y 方向に変化のない等方性乱流の場合も同様であるから、(7)をとることは厳密性をあまり損なつていいと考えられる。

(ii) dD_y について: A~B 断面間の蓄積率ということから、

$$dD_y = \left\{ \int_0^h \frac{\partial}{\partial y} (e_y \frac{\partial C}{\partial y}) dy \right\} dx = [e_y \frac{\partial C}{\partial y}]_0^h dx$$

であり、水底と水面における、物質收支に関する境界条件が導入されねばならない。先ず冒頭の仮定により水面 ($y=h$) では物質の水面外脱出がないから

$$[e_y \frac{\partial C}{\partial y} + W_0 C]_{y=h} = 0 \quad \dots \dots \dots (8)_1$$

であり、一方水底では、 $e_y(y=0)$ の値と物質の洗掘・堆積あるいは底質物質への移行が内壁になる。

e_y は、渦拡散係数であれば $y=0$ で0である。また、沈降率は単位時間に $W_0 C dx$ であるから、

a) $y=0$ で沈殿堆積のみが起る場合:

$$-e_y \frac{\partial C}{\partial y} |_{y=0} = 0 \quad \dots \dots \dots (8)_2$$

b) $y=0$ で沈殿のはかの作用による物質移動があり、それが単位時間に r の割合である場合:

$$-e_y \frac{\partial C}{\partial y} |_{y=0} = r \quad \dots \dots \dots (8)_3$$

ここで dD_y は基礎式(3)中の右辺第4項 $W_0 \frac{\partial C}{\partial y}$ と關係が深いことがわかる。そこで該項のA~B間での積算値 dW とあわせて考えよう。 dW は

$$dW = w_0 \left(\int_0^h \frac{\partial C}{\partial y} dy \right) dx = w_0 dx [C_{y=h} - C_{y=0}] \quad \dots \dots \dots \quad (9)$$

$C_2=0$ のとき (6) 式における C_0 をはば等しいとみれば、a), b) のケースはそれぞれつぎの様に書ける。

$$a) \quad dDy + dW = w_0 dx (C_h - C_a) = w_0 C_{(h-a)} dx \leq 0 \quad \dots \dots \dots (9)_a$$

$$b) \quad dDy + dW = dx \left\{ r + w_0(C_{h-a} - Ca) \right\} = (r + w_0 C_{(h-a)}) dx \quad \dots \dots \dots (9)_b$$

$$(C_{(h-a)} = C_{y=h} - C_{y=a})$$

$C_{(h-a)}$ は、沈降速度があまり大でないか、 W_0/U_{∞} が小さく値であれば $W_0 C_m$ にくらべて次数の低い数値になる。 $C_{(h-a)} = -\gamma C_m$ として割らしい補正係数を導入することが考えられる。そのようにして、拡散項と沈降項をあわせた平均値表示は、(7)、(9)_a および(9)_b によりつきのようになる。

$$a) の 4 - 2 : \quad dDx + dDy + dW = [(1+\beta)h \cdot \frac{\partial}{\partial x} (e_{xm} \frac{\partial C_m}{\partial x}) - \gamma w_0 C_m] dx \quad \dots \dots \dots (10)_a$$

$$b) \quad " \quad : \quad s \quad = \left[\quad \quad \quad + (r - \delta w_0 C_m) \right] dx \quad \dots \dots \quad (10)_b$$

4) 化學的、生物等の変化の項 (f_1)

指標物質が BOD であるとするより有機物質で、これにまわりの好気性微生物が幼いて生物的分解・代謝が営まれるような場合、物質の量的变化を系内での物質の見かけ上の増減として扱うことができる、(3)式の $f(C)$ は、例えば 1 次反応で物質の見かけ上の減少率が濃度そのものに比例する、そして、 $-kC$ のように書くことができる。もし更に吸着や化学酸化、凝集など的作用が加わると、 $f(C)$ はより複雑な関数形になる。しかし本論文が主対象としているところでは、河道や導水路、下水管などでは、窒素系、炭素系有機物質量や BOD₅などを指標とするが故に、モデルとして最も単純な $-kC$ の形が便利であり、実例も多い。そこでこうした反応の速度をマクロにとらえ、それを速度定数と見ておきたい。しかしながら断面積算定の微分は、 $dc = const.$ として

と書ける。ここで τ_{d} のマグニチュードは 10^{-1} ($1/\text{day}$) order であるから、 C_{MDX} に対する係数 [ρ_{d}] は 10^1 (cm/day) order である。一方 (10)a, (10)b における [ρw_0] は、 w_0 が 10^{-1} order としても、 $w_0 = 0.01 \text{ cm/sec} \approx 10^3 (\text{cm}/\text{day})$ order であるから、少なくとも (10)a と比較して (11) は 2 次以上の無限小となり、無視できる。ただしこれは粒子の次導性がある場合の論である。コロイド・サイズ以下 の粒子、溶解性物質に対しては $dD_x + dD_y + dF_1$ を計算すればよい。

5) 付加汚浊の項 (f_2)

主流に沿う、指標物質の付加は、底質からの溶解や側岸からのpick upも含まれるが、公共水域水質の評価上重要なものは支川や管さよを通じての流入である。都市河川のように汚染源が広く、多分散している場合は、図-3の(1)の型のようだ、連続型の汚染付加として扱つたほうが便利かもしれない。これに対し(2)のようなパターンは、主な汚染付加点の間を独立水路区间とし

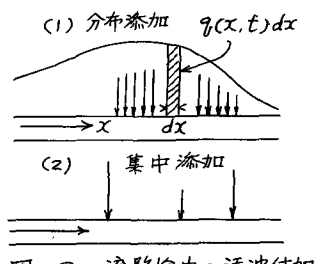


図-3 流路途中の汚濁付加

て扱つた方が計算としては合理的である。そこで、この項では(1)のパターンのみを扱うと、指標値Cに対する、 dx 区間での単位時間当たり流入率 $f(x) dx$ が $A \sim B$ 区間での寄与になるので、これが流水に完全混合したと考えた場合のC値の平均上昇率は C_f であり、 dx 区間の増加量としては

とあらわすことができる。

6) 平均量であらわした基礎方程式

以上 1) ～ 5) の結果を総合して、物質收支式を書くと当然、 $dT + dA_d = dD_x + dD_y + dW + dF_1 + dF_2$ 、であるから、(4), (5), (10)a, (10)b, (11) および (12) 式から、つきのように表現できる。

a) 水底で沈殿堆積のみが起る場合：

a) 水底で沈殿堆積のみが起る場合:

$$\frac{\partial C_m}{\partial t} + (1+\alpha) U_m \frac{\partial C_m}{\partial x} = (1+\beta) \frac{\partial}{\partial x} (e_{xm} \frac{\partial C_m}{\partial x}) - \left(\frac{\gamma w_0}{h} + k \right) C_m + \frac{g_f}{h} \quad \dots \dots \dots (13)_A$$

b) 水底における物質移動率が単位時間に「 r 」である場合：

$$\frac{\partial C_m}{\partial t} + (1+\alpha) U_m \frac{\partial C_m}{\partial x} = (1+\beta) \frac{\partial}{\partial x} (e_{xm} \frac{\partial C_m}{\partial x}) - \left(\frac{v_{w0}}{h} + k \right) C_m + \frac{r+q}{h} \quad \dots \dots \dots \quad (13)_b$$

ここで式中の α の値は、 α の値を表-1に近似的に示したのと同様、(6) 式を基礎としてあらかじめそのマグニチュードを察することができる。パラメータは w_0/u_* であるから、図-4には α w_0/u_* との関係を示してある。

また、上式の右辺第3項()内は、 $w_0 \geq 0.01$
 cm/sec であれば η を無視してよいことを述べたが、表現の便宜上、

また、

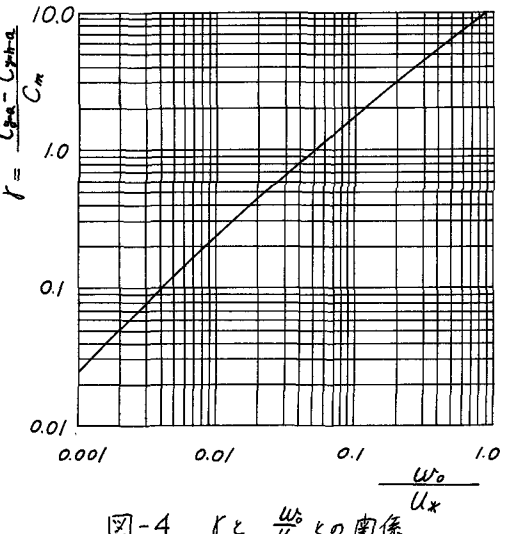
$$\frac{r+q}{h} = q_1 \quad \dots \dots \dots (14)_2$$

と記すことにする。ここに A および q_1 は (13) 式中でいすれも定数として扱う量である。さらに、
 $(1+d)U_m = U_{m_1}$, $(1+\beta)Ex_m = Ex_1$, を記せば、(13)a, (13)b は統一的(15)式の表現形よい。

これは、断面平均値について述べられた精度の高い物質收支式として位置づけよう。実用的目的の計算、解析には、(1)、(2) および (15) をもとに適当な近似等を行なって操作すればよい。

3. 解析例-1, $q_1=0$, $r=0$ の場合

基本的な解析として、途中での汚濁負荷がなく、水路底には沈殿堆積のみがある場合につき、(15)



式の解を求める。使うべき条件としては

$$\left. \begin{array}{l} t = t_0, \quad x = 0 \text{ で } C_m = C_1 \\ \text{, } \quad x = x_0 \text{ で } C_m = 0 \end{array} \right\} \quad (t \geq t_0) \quad (16)$$

をとる。 $x=0$ は起算； $x=x_0$ は 起算から十分遠く離れた断面を意味し、上流側で供給された汚染が下流方向へ時刻の経過とともに伝ばする速さや機構を解析することに当る。

(15) 式の解析解を一般的に求めるることは容易でないが、つぎに示す 2 段階の変数変換により、問題の物理的意義を失なうことなく、原方程式の常微分方程式への変換と、その完全解を得ることが可能となる。すなわち先ず、(15) の右辺末項に、時刻の経過とともに指標値を減少させる作用の項があるが、これをつぎの第 1 変換で消去する。

$$C_m = \theta \exp[-At] \quad (17)$$

対応する境界条件は、

$$\left. \begin{array}{l} t = t_0, \quad x = 0 : \quad \theta = C_1 e^{At_0} = \theta_1 \\ \text{, } \quad x = x_0 : \quad \theta = 0 \end{array} \right\} \quad (18)$$

である。この変換で $\eta_1 = 0$ によって (15) は次式にかかる。

$$\frac{\partial \theta}{\partial t} + u_m \frac{\partial \theta}{\partial x} = \frac{\partial}{\partial x} \left(e_{x_1} \frac{\partial \theta}{\partial x} \right) \quad (19)$$

本式の左辺第 2 項、つまり移流項が含まれぬ場合の解析は、パラメータ $\xi = x/2t^{1/2}$ の導入によって、隨伴型の常微分方程式を解く問題に帰着することが Boltzmann⁽³⁾ により示されている。筆者はこのパラメーターとのもつ物理的な意義は、移流を伴なう (19) 式の場合には、新パラメータ

$$\gamma = (x - u_m t)/2t^{1/2} \quad (20)$$

に再現されると考え、第 2 段の変換、すなわち独立変数変換を行なつた。すなわち (20) に γ に

$$\begin{aligned} \frac{\partial \theta}{\partial x} &= \frac{d\theta}{d\eta} \cdot \frac{\partial \eta}{\partial x} = \frac{1}{2} t^{-\frac{1}{2}} \left(\frac{d\theta}{d\eta} \right), \quad \frac{\partial \theta}{\partial t} = \frac{d\theta}{d\eta} \frac{\partial \eta}{\partial t} = -\frac{1}{4} (xt^{-\frac{3}{2}} + u_m t^{-\frac{1}{2}}) \frac{d\theta}{d\eta}, \\ \frac{\partial}{\partial x} \left(e_{x_1} \frac{\partial \theta}{\partial x} \right) &= \frac{1}{4} t^{-1} \frac{d}{d\eta} \left(e_{x_1} \frac{d\theta}{d\eta} \right) \end{aligned}$$

などの変換式がえられるので、これらを (19) に入れて整理することにより、

$$-2\eta \frac{d\theta}{d\eta} = \frac{d}{d\eta} \left(e_{x_1} \frac{d\theta}{d\eta} \right) \quad (21)$$

が得られ、結局 (19) の解をうることは、(21) 式をつぎの境界条件を満たすよう解くことにより帰着する。

$$\left. \begin{array}{l} \gamma = -\frac{u_m t_0}{2\sqrt{t_0}} = -\frac{u_m}{2} \sqrt{t_0} = \gamma_0 \quad : \quad \theta = \theta_1 \\ \gamma = \frac{x_0 - u_m t_0}{2\sqrt{t_0}} = \gamma_{x_0} \quad : \quad \theta = 0 \end{array} \right\} \quad (22)$$

(21) の解は変数分離法により、

$$-2\eta d\eta/e_{x_1} = d(e_{x_1} d\theta/d\eta)/(e_{x_1} d\theta/d\eta)$$

の形にして 1 回積分すると、常数 A_1 を含む次式がえられる。

$$A_1 \exp \left[- \int_0^\gamma 2\eta/e_{x_1} d\eta \right] = e_{x_1} d\theta/d\eta \quad (\gamma \text{ の変域は } \gamma_1 \text{ に同じ})$$

これをふたたび変数分離して積分すると2常数を含む一般解が得られる。

条件(22) の第2式より

$$A_2 = - A_1 \int_0^{T_{\text{max}}} \frac{1}{e_{x_i}} \exp \left[- \int_0^{\eta} \frac{2\varepsilon}{e_{x_i}} dS \right] d\eta \quad \dots \dots \dots \quad (24)$$

$$\text{式 (22) の第 1 式から, } \theta_i = A_i \left\{ \int_0^{\eta_0} \frac{1}{\bar{e}_{x_i}} \exp \left[- \int_0^s \frac{\partial S}{\bar{e}_{x_i}} ds \right] d\eta - \int_0^{\eta_0} \frac{1}{\bar{e}_{x_i}} \exp \left[\int_0^s \frac{\partial S}{\bar{e}_{x_i}} ds \right] d\eta \right\},$$

となるので、(24), (25) を (23) 式に代入してつきの完全解を得る。

この解が(22)の2条件式を満たし、(21)を満足するものであることは容易に判別できるが、 θ が 2π のみの関数として表現されたことに特色があり、その物理的意義は5節に論ずる。

最後に(17)式の逆変換により、 C_m に関する solution (27) 式を得る。

$$\frac{C_m}{C_1} = \frac{\int_{\eta_{x_0}}^{\eta} \frac{1}{e_{x_1}} \exp\left[-\int_0^{\eta} \frac{2s}{e_{x_1}} ds\right] d\eta}{\int_{\eta_{x_0}}^{\eta_0} \frac{1}{e_{x_1}} \exp\left[-\int_0^{\eta} \frac{2s}{e_{x_1}} ds\right] d\eta} e^{-A(t-t_0)} \quad (t \geq t_0 > 0, \eta_0 \leq \eta < \eta_{x_0}) \quad (27)$$

4. 解析例-2, 溶解性物質で生物学的1次反応に従う場合, ($g_1 = 0$, $r = 0$)

前節に求めた解析解と form は同じで、式中の A が (14) により決まるだけである。すなわち、

$$\frac{C_m}{C_1} = \frac{\int_{\zeta_{x_0}}^{\zeta_x} \frac{1}{e_{x_1}} \exp\left[-\int_0^{\zeta} \frac{2S}{e_{x_1}} dS\right] d\zeta}{\int_{\zeta_{x_0}}^{\zeta_x} \frac{1}{e_{x_1}} \exp\left[-\int_0^{\zeta} \frac{2S}{e_{x_1}} dS\right] d\zeta} e^{-k(t-t_0)} \quad \dots \dots \dots \quad (28)$$

このほか、 $\partial C_m / \partial t = 0$ の場合とか、 $A = 0$ の場合、 $r \neq 0$ の場合など、(28) のよう完全解の式示す可能な例がいろいろ考えられるが、それは別の機会に論ずる。

5. C_{α_1} の性格とパラメータの意義

(27)式、あるいはその原式である(15)における c_{x_1} は、指標物質の拡散係数であるが、それが(20)で定義されると、 x のみの関数であることの物理的意義が問題である。(27)、(28)の解析解は、 c_{x_1} が x の任意関数として C_0 値を與えではいるが、次元の異からいって、その関数形が全く任意でよいわけではない。たゞ数学的な形式が一応整えられたことになる。パラメータ γ は、 x 、 t からなる関数で、(20)により自由度は減ったことになり、普通にいう意味での c_{x_1} の一般性は、見かけ上損なわれたよう見える。しかしここで、拡散方程式の解に $L^2 T^{-1}$ の元の量が必然的に入ってくることと、 γ の意

義がどこで結びつかを考えねばならぬ。

初に記したとおり、水流の運動については(1)の型一力学モデルを想定しているので、流れ、すなはち分散媒の状態をせん断乱流としたことになり、それが指標物質の拡散性を見かけ上支配することを考えねばならない。この制約のために、 e_x 、 e_y は e_x を等方性乱流における渦拡散係数のように扱いがたい。だから先ず、素直に e_x が(1)の運動方程式に矛盾しない渦拡散係数に極めて類似した特性をもつとすれば、明らかに

$$e_x \cong e_y = u_* \sigma_y (1 - \frac{y}{h}), \text{ または } e_x = a_0 e_y + \epsilon_c \dots \quad (29)$$

$(a_0, \epsilon_c : \text{定数})$

であり、 e_y の y 方向の平均値は、 $\bar{y}=0.4$ とすれば、 $0.067 u_* h$ であるから、いま考へている力学モデルに関するかぎり、渦乱の挙動に物質が follow しておれば、

$$e_x = e_y \cong e_m = 0.067 u_* h \quad \dots \quad (30)$$

とするのが、直從性のある物質に対しては最も妥当である。したがって、輸送される物質が物理的には「運動量」や「速度」と同じような性格であるかぎり、 e_x (η) の関数形について立ち入ったせんきくの必要はない。よって 6. では、指標物質がせん断乱流にはば直従するものとして、見かけの拡散係数 e_x を(30)式、または e_m とリヤーの関係にあるものとして数値計算する。

ところで指標物質濃度が一般に(15)式に従い、(20)の変換によって(27)式が導かれるゆえんは何であるか。これは(15)式が、媒質流体の運動状態のいかんに拘らず独立に成立する(ただし、 y 、 z 方向の移流が伴なえば、左辺にそれだけ移流項が加える)ことから、 η の元である $[L^2 T^{-1}]^{1/2}$ と結びつけて考へてみる。 $[L^2 T^{-1}]$ は拡散係数と同じ元であって、 $(x - u_m t) = x_1$ とすると、 x_1^2 と t とは、G. I. Taylor の統計理論における流体エレメントの t 時間ににおける、運動運動による平均2乗行程 \bar{x}^2 と t の比、

$$\frac{\bar{x}^2}{t} = D_v = 2 \bar{u}^2 \int_0^\infty R(\xi) d\xi, \quad R_j = \overline{u^j(t) u^j(t-\xi)} / \bar{u}^2 \quad \dots \quad (31)$$

(Lagrange の自己相關係数)

であらわせる、等方性乱れの渦拡散係数 D_v と η は $x - t$ 平面のある特異点において

$$(D_v/2)^{1/2} = \zeta_0 \quad \dots \quad (32)$$

の関係で結ばれる。ただし上式の u^j は変動速度を意味している。

この関係は $x - t$ 平面(η -平面)のある特異点のみに限るのか、一群の孤立点群で成立するか、それとも定まつたひろがりをもつ domain でも成立するかは、媒質と指標物質の interrelation によつて、一般には何ともいえない。

上述のように、媒質流体中の e_x の値が η の関数で表わされることの物理的、および数学的意義はあるといふと了解されるが、詳細は今後の議論にまつ他ない。ただ云えることは、(1), (2)式によつてせん断乱流場を考えるかぎり、(29) → (30)式の線で e_x を取扱わざるをえない、ということである。

6. 数値解析例

途中からの汚染の流入がなく、底面・側岸からの洗掘も考えない、3. のケースについて数値計算を行なった結果を示す。基本式は(27)であるが、粒子の沈降性を考慮している。論文の紙数の関係で計

算例の紹介は最小限度に止めることにした。

計算例の条件 河川の中・下流部における等流状態の例として、つきの諸数値を与えた：

水深 (h) = 100 cm, こう配 (i) = 1/1000, 摩擦速度 (u_s) = 10 cm/sec, (U_m) = 178.5 cm/sec, 1次生物作用速度定数 (k) = 0.1/day = 1.2×10^{-5} /sec, 粒子の平均沈降速度 (w_0) = 0.1 cm/sec, (w_0/u_s) = 10^{-2} , これに対応する移流項補正係数 (α) = -1.23×10^{-2} , (β) = 1.0 (ここで ϵ は渦拡散係数をとった) (e_{x_1}) = $0.067 u_s h$, 沈殿項補正係数 (γ) = 0.24 (図-4)；

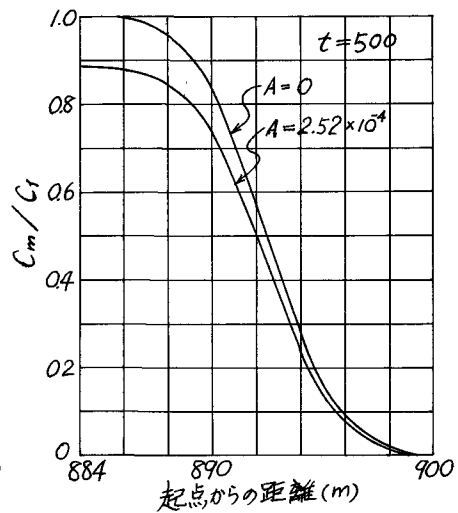
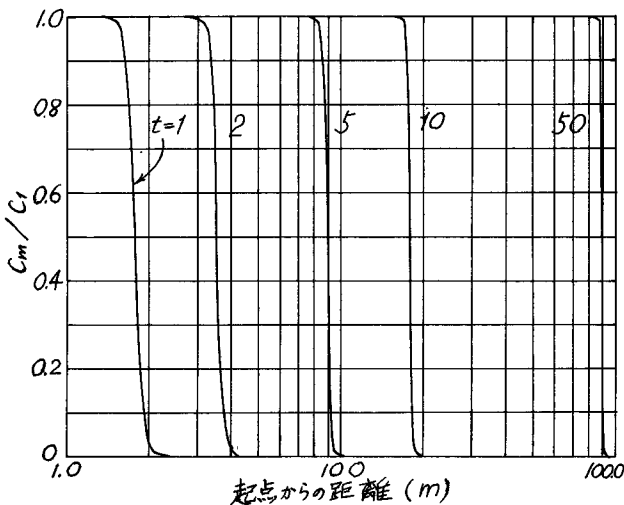


図-5(a) 数値計算例

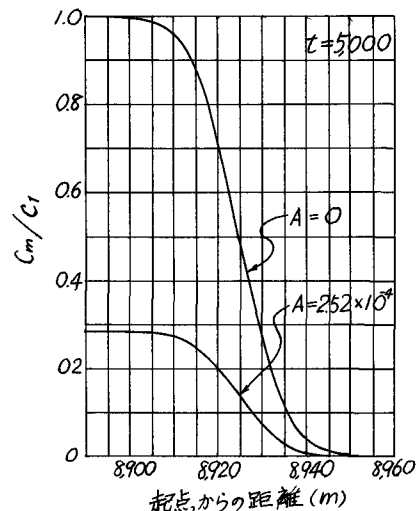
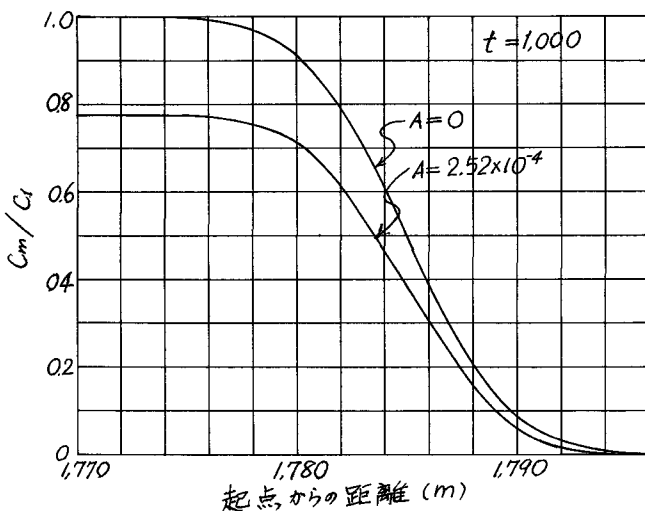


図-5(b) 数値計算例

図-5(a), (b) は前記の計算条件に応する、厚奥からの水平距離 x に対する C_m/C_1 の変化を示したものである。 $W_0 = 0.1 \text{ cm/sec}$ の場合は、高性能の流動地をキャリ・オーバーする限界値に近いが、それに応する (A) 値は $2.52 \times 10^{-4} / \text{sec}$ で、1 次生物作用の効果は 1 行以上の無限大となり、利いてない。粒子の沈降性が無視でき、しかも生物作用がこのマグニチュードで影響している場合は、図中の $A=0$ の場合とみて事実上の誤りはない。上記のようなら沈降性は、 $t > 500 \text{ sec}$ の段階で (b) 図に示すように、 $A=0$ の場合と明確な相違を示すことに注意を要する。なお $t = 500 \text{ sec}$ とは、平均流速 U_∞ では約 900 m 下流を意味している。この計算例では初期値 (t_0) = 1 sec としている。 A や α の値、また W_0/U_∞ の変化がどうかの意味をもつか、より詳細な検討を留下行なつてある。

7. 結び

以上、水流が 2 次元等流で、含有物質の存在が水理量に大きな影響を及ぼさない、とみられる範囲で、分散性や沈降性を有する含有物質の挙動を支配する基礎式 (1), (2), (3) をもとに種々の理論的検討を行なつたが、その成果のうち従来の同種の研究より進歩したと思われる点は緒言に記したところであり、要約すれば

- 1) 断面平均量に対する厳密な表現として (13)a, (13)b 式を得た。
 - 2) 移流項に対する補正係数の性格と、近似値ではあるが数値を明らかにした (表-1) が例。
 - 3) 拡散係数 κ_g 、 x と t で (20) 式に示すパラメータ ζ の関数として表現できる場合、拡散方程式の解析解が求めうることを示した。(27), (28) はその例である。
 - 4) 2 の意義はまだ検討が十分でないが、乱流統計理論で定義される渦拡散係数と物理的に関係のある量であることを指摘した。
 - 5) 数値計算例で、粒子の沈降性と生物学的減少作用の影響度が直接比較でき、これから実用近似計算でとるべき方針がはつきりした。
- 等である。
- ただし、横からの物質添加や、底面での物質交換がいろいろな条件で生えられた場合の問題は、今後の課題として残つてある。しかし数学的にはすでに片はいたといってよい。
- 終りに、今研究に種々協力していただいた大学院学生海老瀬慎一、祖同保兩君に謝意を表する。

引用文献

- (1) 合田 健：上水管理に関する問題の提起と分析 (I)，水道協会雑誌 42, 2~9 (1969. 10)
- (2) Vanoni, V.A. : Transportation of Suspended Sediment by Water, Trans. ASCE., 111, 67 (1946), ほか多数
- (3) Crank, J. : The Mathematics of Diffusion, Oxford Press, 148 (1964).

以上